

Rekonfigurasi Jaringan Radial Distribusi Tenaga Listrik Penyulang Suryagraha Menggunakan Binary Particle Swarm Optimization (BPSO)

by Ahmad Izzuddin

Submission date: 31-Mar-2023 09:15AM (UTC-0400)

Submission ID: 2052025428

File name: yagraha_Menggunakan_Binary_Particle_Swarm_Optimization_BPSO.pdf (581.59K)

Word count: 3911

Character count: 17940

Rekonfigurasi Jaringan Radial Distribusi Tenaga Listrik Penyulang Suryagraha Menggunakan Binary Particle Swarm Optimization (BPSO)

¹ Diana Mul²² Dewi, ² Nuzul Hikmah, ³ Imam Marzuki, ⁴ Ahmad Izzuddin

^{1,2,3,4} Teknik Elektro, Universitas Panca Marga, Probolinggo

¹ dianamdewi71@gmail.com, ² n.hikmah1807@upm.ac.id, ³ imam@upm.ac.id, ⁴ ahmad.izzuddin@upm.ac.id

Abstract — A radial distribution electrical network at a certain distance will have a large voltage loss due to conduct³⁰ losses, especially at the end point. The tip voltage is determined by the distance of the distribution and the amount of load. The form of configuration also affects the amount of power loss and voltage loss. So that a good configuration is needed in order to obtain good effici¹¹y. Reconfiguration of the distribution network is used to reset the network configuration form by opening and closing switches on the distribution network. Reconfiguration is expected to reduce power losses and improve distribution system reliability. Many feed¹¹ and buses on the network if calculated³⁴ annually will be difficult and require a very long time. So it is necessary to solve problems using program assistance.¹⁵ In this case, use Particle Swarm Optimization (PSO). Particle Swarm Optimization (PSO) algorithm based on the behavior of a herd of insects, such as ants, termites, bees or birds. BPSO is a development of the PSO algorithm designed to solve the optimization problem in a discrete combination, where the particle takes the value of binary vectors with length n and speed which is defined as the probability of x_n bits to reach value 1. The results show a significant reduction in losses .

Keywords - BPSO, Radial Distribution, artificial intelligence, PSO, Reconfiguration

Abstrak — Jaringan listrik distribusi radial pada jarak tertentu akan terjadi rugi tegangan yang cukup besar akibat losses penghantar terutama pada titik ujungnya. Besar tegangan ujung ditentukan oleh jarak penyaluran dan besar beban. Bentuk konfigurasi juga mempengaruhi besarnya rugi daya dan rugi tegangan. Sehingga diperlukan konfigurasi yang baik agar diperoleh efisiensi yang baik. Rekonfigurasi jaringan distribusi digunakan untuk mengatur ulang bentuk konfigurasi jaringan dengan jalan membuka dan menutup switch pada jaringan distribusi. Rekonfigurasi diharapkan dapat mengurangi rugi-rugi daya dan meningkatkan keandalan sistem distribusi. Banyak feeder dan bus pada jaringan jika dihitung secara manual akan sulit dan memerlukan waktu yang sangat lama. Sehingga diperlukan penyelesaian permasalahan menggunakan bantuan program. Dalam hal ini menggunakan Particle Swarm Optimization (PSO). Algoritma Particle Swarm Optimization (PSO) yang

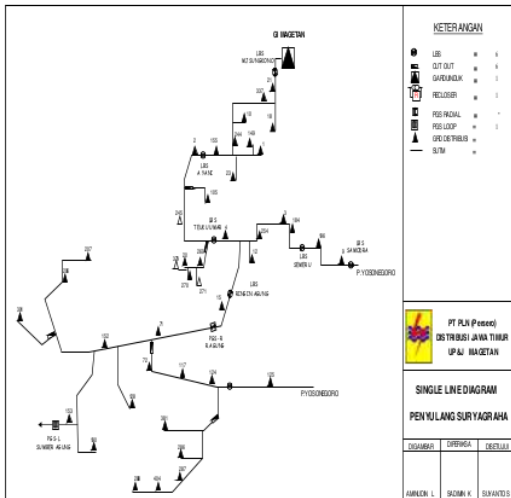
didasarkan pada perilaku sebuah kawanan serangga, seperti semut, rayap, lebah atau burung. BPSO merupakan pengembangan dari algoritma PSO yang didisain untuk menyelesaikan masalah optimisasi secara kombinasi yang diskrit, dimana partikel mengambil nilai vektor biner dengan panjang n dan kecepatan yang didefinisikan sebagai probabilitas dari bit x_n untuk mencapai nilai 1. Dari hasil penelitian menunjukkan adanya pengurangan losses yang cukup signifikan.

Kata Kunci— BPSO, Distribusi Radial, kecerdasan buatan, PSO, Rekonfigurasi

I. PENDAHULUAN

Saat ini Artificial Intelligent (AI) sering digunakan untuk mengembangkan berbagai keilmuan diantaranya sebagai improfisiasi program untuk masalah rekonfigurasi jaringan[1]. Maka pada penelitian ini digunakan metode kecerdasan buatan, yaitu Binary Particle Swarm Optimizatinon (BPSO) yang mengambil nilai diskrit yang nantinya digunakan sebagai pensaklaran. Metode ini merupakan pengembangan dari metode PSO. Konfigurasi jaringan distribusi radial bentuknya sangat beragam dan sulit untuk disederhanakan. Rekonfigurasi jaringan distribusi digunakan untuk mengatur ulang bentuk konfigurasi jaringan dengan jalan membuka dan menutup switch yang terdapat pada jaringan distribusi. Penelitian sebelumnya sudah diteliti menggunakan Binary Particle Swarm Optimization (BPSO)[2], Algirotma Genetika[1] dan Modified Firefly Algorithm (MFA)[3].

Pada Jaringan Tegangan menengah Penyulang Suryagraha UP&J Magetan pada Trafo II 30 MVA terdiri dari 45 bus (GTT) dan 49 saluran. Single line Penyulang Suryagraha dapat dilihat pada gambar 1.



Gambar 1. Single line penyulang Suryagraha .

II. KAJIAN PUSTAKA

A. Kerugian Daya

Perhitungan yang berlaku pada sistem distribusi arus bolak-balik adalah mirip dengan perhitungan yang berlaku pada sistem distribusi arus searah. Tetapi, ada beberapa perbedaan prinsip yang harus diperhatikan dan dipahami pada sistem arus bolak-balik antara lain: Perhitungan arus pada tiap seksi saluran AC merupakan jumlah vektor dari arus-arus beban yang penjumlahan hitungan aljabar biasanya seperti pada sistem arus searah. Jumlah arus dapat dinyatakan dalam bentuk persamaan aljabar biasa, bila dinyatakan dalam notasi bilangan kompleks. Tiap beban bisa saja memiliki besar power factor yang berbeda dengan beban lain. Masing-masing besar power factor berkaitan dengan besar tegangan catu dayanya berdasarkan besaran vector. Pada sistem arus searah, sifat beban dikenal memiliki karakteristik resistif murni, dengan "Unity Power Factor" ($\cos Q=1$). Pada rangkaian arus bolak-balik, besarnya rugi tegangan tidak hanya bergantung pada besar resistensi murni R dari beban, tetapi juga bergantung pada besarnya reaktansi induktif dan reaktansi kapasitif, yang sering diabaikan[4].

B. Rekonfigurasi jaringan

Rekonfigurasi jaringan (Network Reconfiguration) merupakan suatu usaha merubah bentuk konfigurasi jaringan distribusi dengan mengoperasikan pensakelaran terkontrol jarak jauh (switching remotely controlled) pada jaringan distribusi tanpa menimbulkan akibat yang beresiko pada

operasi dan **5**entuk sistem jaringan distribusi secara keseluruhan. Dalam kondisi operasi normal, rekonfigurasi jaringan dilakukan karena dua alasan: mengurangi rugi-rugi daya pada sistem (loss reduction), mendapatkan pembebatan yang seimbang untuk mencegah pembebatan yang berlebih pada **21**ngan (load balancing). Rekonfigurasi jaringan dilakukan untuk mengurangi rugi-rugi daya pada jaringan distribusi daya listrik tipe radial.

C. Aliran Daya.

Studi aliran daya adalah penentuan atau perhitungan tegangan, arus dan daya yang terdapat pada berbagai titik suatu jaringan pada keadaan pengoperasian normal, baik yang sedang berjalan maupun yang akan datang. Aliran daya pada penelitian ini tidak dibahas secara khusus dan mendetail, karena hanya digunakan sebagai studi untuk menentukan tegangan dan daya yang dijadikan sebagai dasar untuk melakukan rekonfigurasi jaringan pada jaringan distribusi daya listrik tipe radial.

Arus pada GI:

$$I_i = V_i \sum_{j=0}^n y_{ij} - \sum_{j \neq i}^n y_{ij} V_j \text{ dimana } j \neq i \quad \dots \dots \dots (6)$$

maka

$$\frac{p_i - j Q_i}{V_i} = V_i \sum_{j=0}^n y_j - \sum_{j=i}^n y_j V_j \quad \text{dimana } j \neq i \quad \dots \quad (7)$$

D. Formulasi Rekonfigurasi Jaringan

Pada bagian ini permasalahan rekonfigurasi jaringan disusun sebagai permasalahan multiobjektif. Di mana fungsi tersebut terdiri dari lima fungsi objektif, dan memiliki faktor beban yang berfungsi untuk menyatakan besarnya hubungan antara masing-masing fungsi objektif tersebut. Fungsi-fungsi objektif tersebut adalah: Minimalisasi daya complex tak seimbang

$$16^u = \sum_{j=1}^m S_j^u \quad (1)$$

dimana: m = jumlah saluran feeder dari feeder utama

S_j^u = daya kompleks tiga fasa tak seimbang pada setiap fasa, dinyatakan dengan:

$$S_i^u = \sqrt{\sum_{p=a,b,c} |S_i^p - S_i^o|^2} / 2 \quad (2)$$

$$S_i^o \equiv (S_i^a + S_i^b + S_i^c)/3 \quad (3)$$

$S_j^o = (S_j^a + S_j^b + S_j^c)^{1/2}$ (3)
 S_j^p = daya complex pada pembebahan per fasa, fasa a,b, dan c, S_j^o = daya kompleks ideal per fasa yang bergantung pada pembebahan ideal per fasa.

Jika bernilai 0, maka daya complex pada saluran j seimbang. Minimalisasi total rugi saluran

$$TL_1 = \sum_{i=1}^m \sum_{p=16}^c \left(I_i^p \right)^2 \cdot r_i^{ne} \quad (4)$$

Dimana: I_j^p = arus fasa p dari feeder j, r_j^p = resistansi fasa p dari feeder j, I^{ne} = arus netral dari

feeder j, r_j^{ne} = resistansi netral dari feeder j, Minimalisasi rata-rata jatuh tegangan

$$AV_d = \frac{1}{n} \sum_{k=1}^n \frac{1}{3} \sum_{p=a,b,c} \left| \frac{V_{nominal} - V_k^p}{V_{nominal}} \right| \times 100\% \quad (5)$$

n = jumlah titik beban pada feeder, $V_{nominal}$ = tegangan nominal fasa, V_k^p = besar tegangan fasa p pada titik beban k, VD_k = jatuh tegangan rata-rata pada titik beban k.

III. METODE PENELITIAN

28

Binary Particle Swarm Optimization (BPSO)

Binary Particle Swarm Optimization (BPSO) adalah pengembangan dari Particle Swarm Optimization (PSO) yang didasarkan pada perilaku sebuah kawanan serangga, seperti semut, rayap, lebah atau burung[5]. Perilaku sosial terdiri dari tindakan individu dan pengaruh dari individu-individu lain dalam suatu kelompok. Kata partikel [19] menunjukkan, misalnya, seekor burung dalam kawanan burung. Setiap individu atau partikel berperilaku secara terdistribusi dengan cara menggunakan kecerdasannya (intelligence) sendiri dan juga dipengaruhi perilaku kelompok kolektifnya[6].

Dalam konteks optimasi multivariabel, kawanan diasumsikan mempunyai ukuran tertentu atau tetap dengan setiap partikel posisi awalnya terletak di suatu lokasi yang acak dalam ruang multidimensi. Setiap partikel diasumsikan memiliki dua karakteristik: posisi dan kecepatan. Setiap partikel bergerak dalam ruang/space tertentu dan mengingat posisi terbaik yang pernah dilalui atau ditemukan terhadap sumber makanan atau nilai fungsi objektif[7].

Setiap partikel menyampaikan informasi [26] masi atau posisi bagusnya kepada partikel yang lain dan menyesuaikan posisi dan kecepatan masing-masing berdasarkan informasi yang diterima mengenai posisi yang bagus tersebut. Sebagai contoh, misalnya perilaku burung-burung dalam dalam kawanan burung. Meskipun setiap burung mempunyai keterbatasan dalam hal kecerdasan, biasanya ia akan mengikuti kebiasaan (rule) seperti berikut: seekor burung tidak berada terlalu dekat dengan burung yang lain, burung tersebut akan mengarahkan terbangnya ke arah rata-rata keseluruhan burung, akan memposisikan diri dengan rata-rata posisi burung yang lain dengan menjaga sehingga jarak antar burung dalam kawanan itu tidak terlalu jauh. Model ini akan disimulasikan [27] dalam ruang dengan dimensi tertentu dengan sejumlah iterasi sehingga di setiap iterasi, posisi partikel akan semakin mengarah ke target yang dituju (minimasi atau maksimasi fungsi). Ini dilakukan hingga maksimum iterasi dicapai atau bisa juga digunakan kriteria penghentian yang lain[9].

Algoritma BPSO didesain untuk menyelesaikan masalah optimisasi secara kombinasi yang diskrit, dimana partikel mengambil nilai vektor biner dengan panjang n dan

kecepatan yang didefinisikan sebagai probabilitas dari bit x_n untuk mencapai nilai 1. BPSO membalikkan rumus untuk kecepatan bila kecepatan dibatasi pada interval [0,1] dengan membatasi fungsi dan dengan menggunakan fungsi sigmoid.

IV. ANALISA DAN PEMBAHASAN

Data saluran dan impedansi saluran Beban [32] a JTM 20 kV Penyalur Suryagraha UP&J Magetan dapat dilihat pada Tabel 1.

Tabel 1. Data beban

bus_i	type	Pd	Qd	Gs	Bs	area	Vm	Va	baseKV	zone	Vmax	Vmin
1	1	0.0000	0.000	0	0	1	1.00	0	20	1	1.00	0.90;
2	1	0.0715	0.125	0	0	1	1.00	0	20	1	1.00	0.90;
3	1	0.0817	0.030	0	0	1	1.00	0	20	1	1.00	0.90;
4	1	0.0714	0.025	0	0	1	1.00	0	20	1	1.00	0.90;
5	1	0.0818	0.030	0	0	1	1.00	0	20	1	1.00	0.90;
6	1	0.0918	0.025	0	0	1	1.00	0	20	1	1.00	0.90;
7	1	0.0714	0.100	0	0	1	1.00	0	20	1	1.00	0.90;
8	1	0.0510	0.100	0	0	1	1.00	0	20	1	1.00	0.90;
9	1	0.0306	0.020	0	0	1	1.00	0	20	1	1.00	0.90;
10	1	0.0511	0.100	0	0	1	1.00	0	20	1	1.00	0.90;
11	1	0.0450	0.030	0	0	1	1.00	0	20	1	1.00	0.90;
12	1	0.0613	0.035	0	0	1	1.00	0	20	1	1.00	0.90;
13	1	0.0360	0.035	0	0	1	1.00	0	20	1	1.00	0.90;
14	1	0.0612	0.080	0	0	1	1.00	0	20	1	1.00	0.90;
15	1	0.0360	0.010	0	0	1	1.00	0	20	1	1.00	0.90;
16	1	0.0714	0.025	0	0	1	1.00	0	20	1	1.00	0.90;
17	1	0.0816	0.020	0	0	1	1.00	0	20	1	1.00	0.90;
18	1	0.0490	0.040	0	0	1	1.00	0	20	1	1.00	0.90;
19	1	0.0490	0.020	0	0	1	1.00	0	20	1	1.00	0.90;
20	1	0.0918	0.040	0	0	1	1.00	0	20	1	1.00	0.90;
21	1	0.0490	0.020	0	0	1	1.00	0	20	1	1.00	0.90;
22	1	0.0918	0.040	0	0	1	1.00	0	20	1	1.00	0.90;
23	1	0.0490	0.050	0	0	1	1.00	0	20	1	1.00	0.90;
24	1	0.0612	0.100	0	0	1	1.00	0	20	1	1.00	0.90;
25	1	0.0612	0.100	0	0	1	1.00	0	20	1	1.00	0.90;
26	1	0.0360	0.025	0	0	1	1.00	0	20	1	1.00	0.90;
27	1	0.0715	0.025	0	0	1	1.00	0	20	1	1.00	0.90;
28	1	0.0360	0.020	0	0	1	1.00	0	20	1	1.00	0.90;
29	1	0.0918	0.070	0	0	1	1.00	0	20	1	1.00	0.90;
30	1	0.0490	0.100	0	0	1	1.00	0	20	1	1.00	0.90;
31	1	0.0715	0.070	0	0	1	1.00	0	20	1	1.00	0.90;
32	1	0.0611	0.100	0	0	1	1.00	0	20	1	1.00	0.90;
33	1	0.0714	0.040	0	0	1	1.00	0	20	1	1.00	0.90;
34	1	0.0918	0.070	0	0	1	1.00	0	20	1	1.00	0.90;
35	1	0.0919	0.100	0	0	1	1.00	0	20	1	1.00	0.90;
36	1	0.0715	0.070	0	0	1	1.00	0	20	1	1.00	0.90;
37	1	0.0510	0.100	0	0	1	1.00	0	20	1	1.00	0.90;
38	1	0.0918	0.070	0	0	1	1.00	0	20	1	1.00	0.90;
39	1	0.0919	0.100	0	0	1	1.00	0	20	1	1.00	0.90;
40	1	0.0715	0.070	0	0	1	1.00	0	20	1	1.00	0.90;
41	1	0.0510	0.100	0	0	1	1.00	0	20	1	1.00	0.90;
42	1	0.0918	0.040	0	0	1	1.00	0	20	1	1.00	0.90;
43	1	0.0490	0.050	0	0	1	1.00	0	20	1	1.00	0.90;
44	1	0.0612	0.100	0	0	1	1.00	0	20	1	1.00	0.90;
45	1	0.0612	0.100	0	0	1	1.00	0	20	1	1.00	0.90;

Data beban dan impedansi beban diolah menggunakan program matlab 2013a.

Hasil rekap rekonfigurasi jaringan yang meliputi jumlah [29] jumlah saluran, daya aktif, daya reaktif, tegangan maksimum dan tegangan minimum dapat dilihat pada tabel 2.

REKONFIGURASI JARINGAN RADIAL DISTRIBUSI DIANA MULYAH DEWI

8 Tabel 2. Hasil ringkasan rekonfigurasi jaringan
MATPOWER Version 4.1, 14-Dec-2011 -- AC Power Flow (Newton)

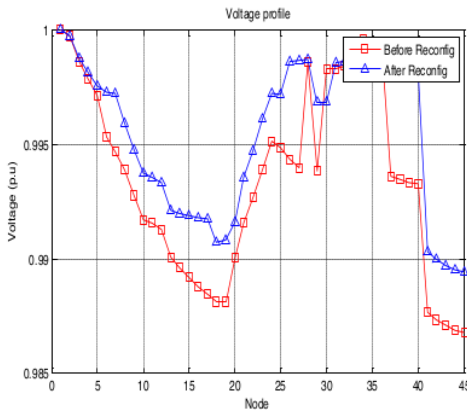
Newton's method power flow converged in 2 iterations.			
4			System Summary
How many?			
Buses	45	How much?	P (MW) Q (MVar)
Generators	1	Total Gen Capacity	0.0 0.0 to 0.0
Committed Gens	1	On-line Capacity	0.0 0.0 to 0.0
Loads	44	Generation (actual)	2.9 2.6
1	Load	2.9	2.6
1	Fixed	2.9	2.6
1	Dispatchable	-0.0 to -0.0	-0.0
Shunts	0	Shunt (Inj)	-0.0 0.0
Branches	49	Losses ($I^2 \cdot R$)	0.02 0.01
Transformers	0	Branch Charging (Inj)	- 0.0
Inter-ties	0	Total Inter-tie Flow	0.0 0.0
Areas	2		
Minimum Maximum			
Voltage Magnitude	0.987 p.u. @ bus 45	1.000 p.u. @ bus 1	
Voltage Angle	-0.00 deg @ bus 36	0.00 deg @ bus 45	
p Losses ($I^2 \cdot R$)	0.00 MW @ line 5-6	0.00 MW @ line 5-6	
Q Losses ($I^2 \cdot X$)	0.00 MVar @ line 5-6	0.00 MVar @ line 5-6	

Diketahui bahwa jumlah bus ada 45, dengan 1 bus sumber, 44 bus beban dan ada 49 saluran. Losses tiap saluran bias dilihat pada tabel 3.

Tabel 3. Hasil rekap losses tiap saluran

2 Branch Data								
#	From Bus	To Bus	From Bus Injection P (MW) Q (MVar)	To Bus Injection P (MW) Q (MVar)	Losses ($I^2 \cdot Z$) P (MW) Q (MVar)			
1	1	2	2.88 0.60	-2.88 -0.63	-0.00 0.001			
2	1	3	2.55 0.50	-2.55 -0.27	0.00 0.004			
3	1	4	2.18 1.91	-2.18 -1.91	0.00 0.002			
4	1	5	2.11 1.88	-2.10 -1.88	0.02 0.000			
5	5	6	2.02 1.85	-2.02 -1.85	0.04 0.000			
6	6	7	1.39 1.23	-1.39 -1.23	0.00 0.000			
7	7	8	1.32 1.13	-1.32 -1.13	0.01 0.000			
8	8	9	1.12 0.91	-1.12 -0.91	0.00 0.000			
9	9	10	1.00 0.85	-1.00 -0.85	0.01 0.001			
10	10	11	0.95 0.75	-0.95 -0.75	0.00 0.000			
11	11	12	0.85 0.70	-0.85 -0.70	0.00 0.000			
12	12	13	0.79 0.66	-0.79 -0.66	0.01 0.001			
13	13	14	0.66 0.59	-0.66 -0.59	0.00 0.000			
14	14	15	0.60 0.51	-0.60 -0.51	0.00 0.000			
15	15	16	0.57 0.50	-0.57 -0.50	0.00 0.000			
16	16	17	0.41 0.45	-0.41 -0.45	0.00 0.000			
17	17	18	0.05 0.05	-0.05 -0.05	0.00 0.000			
18	18	19	0.00 0.00	0.00 0.00	0.00 0.000			
19	19	20	-0.09 -0.04	0.09 0.04	0.00 0.000			
20	20	13	-0.09 -0.04	0.09 0.04	0.00 0.000			
21	11	21	0.05 0.02	-0.05 -0.02	0.00 0.000			
22	9	22	0.09 0.04	-0.09 -0.04	0.00 0.000			
23	8	23	0.14 0.12	-0.14 -0.12	0.00 0.000			
24	6	24	0.54 0.59	-0.54 -0.59	0.00 0.000			
25	25	26	0.41 0.39	-0.41 -0.39	0.00 0.000			
26	26	27	0.38 0.31	-0.38 -0.31	0.00 0.000			
27	27	28	0.00 0.00	0.00 0.00	0.00 0.000			
28	3	28	0.04 0.02	-0.04 -0.02	0.00 0.000			
29	5	29	0.00 0.00	0.00 0.00	0.00 0.000			
30	29	30	0.00 0.00	0.00 0.00	0.00 0.000			
31	30	31	-0.05 -0.10	0.05 0.10	0.00 0.000			
32	31	32	-0.18 -0.27	0.18 0.27	0.00 0.000			
33	3	33	0.25 0.31	-0.25 -0.31	0.00 0.000			
34	2	34	0.26 0.26	-0.26 -0.26	0.00 0.000			
35	34	35	0.16 0.17	-0.16 -0.17	0.00 0.000			
35	35	36	0.07 0.07	-0.07 -0.07	0.00 0.000			
36	36	37	0.00 0.00	0.00 0.00	0.00 0.000			
37	16	17	0.49 0.47	-0.49 -0.47	0.00 0.000			
38	23	29	0.09 0.07	-0.09 -0.07	0.00 0.000			
39	31	32	-0.12 -0.17	0.12 0.17	0.00 0.000			
40	24	25	0.48 0.49	-0.48 -0.49	0.00 0.000			
41	27	37	0.31 0.34	-0.31 -0.34	0.00 0.000			
42	37	38	0.26 0.24	-0.26 -0.24	0.00 0.000			
43	38	39	0.16 0.17	-0.16 -0.17	0.00 0.000			
44	39	40	0.07 0.07	-0.07 -0.07	0.00 0.000			
45	18	41	0.31 0.39	-0.31 -0.39	0.00 0.000			
46	41	42	0.26 0.29	-0.26 -0.29	0.00 0.000			
47	42	43	0.17 0.25	-0.17 -0.25	0.00 0.000			
48	43	44	0.12 0.20	-0.12 -0.20	0.00 0.000			
49	44	45	0.06 0.10	-0.06 -0.10	0.00 0.000			

21 Gambar profile tegangan sebelum dan sesudah rekonfigurasi tiap bus dapat dilihat pada gambar 3.



Gambar 3. Profile tegangan rekonfigurasi

31 Hasil switch line sebelum dan sesudah rekonfigurasi dapat dilihat pada tabel 3.

Tabel 3. Hasil simulasi bus distribusi

14 *** SIMULATION RESULTS OF 45 BUS DISTRIBUTION NETWORK ***								
BEFORE RECONFIGURATION					AFTER RECONFIGURATION			
Tie switches:					36 26 29 28 18 7 16 24 30 41			
Power loss:					20.2307 kW 13.6256 kW			
Power loss reduction:					32.6488 %			
Minimum voltage:					0.9868 pu 0.98943 pu			
Elapsed time is 32.083015 seconds								

Dari hasil running menunjukkan bahwa sebelum rekonfigurasi memutus open switch line 35, 26, 29, 28, dan 18 setelah rekonfigurasi 7, 16, 24, 30, dan 41. Losses sebelum rekonfigurasi sebesar 20.2307 kW dan setelah konfigurasi sebesar 13.6256 kW. Maka rekonfigurasi dapat mereduksi kerugian daya sebesar 32.6488 %. Dan memperbaiki profile tegangan dari 0.98138 pu menjadi 0.98943 pu.

V. KESIMPULAN

Dengan merekonfigurasi jaringan, yaitu dengan merubah open switch line menjadi 7, 16, 24, 30, dan 41. Hasil rekonfigurasi dapat mereduksi kerugian daya sebesar 32.6488 %. Dan memperbaiki profile tegangan menjadi 0.98943 pu. Dengan demikian dapat dikatakan bahwa metode BPSO bisa mereduksi rugi tengangan sebesar 32.6488 %.

VI. DAFTAR PUSTAKA

- [1] M. Fayyadl, "Rekonfigurasi Jaringan Distribusi Daya Listrik dengan Metode Algoritma Genetika," 2011.
17
 - [2] A. Cahyono, H. K. Hidayat, S. Arfaah, and M. Ali, "Rekonfigurasi Jaringan Distribusi Radial Untuk Mengurangi Rugi Daya Pada Penyalang Jatirejo Rayon Mojoagung Menggunakan Metode Binary Particle Swarm Optimization (BPSO)," in *SAINTEK HL 2017, UB, Malang, 2017*, pp. 103–106.
23
 - [3] H. Nurohmah, A. Raikhani, and M. ALI, "Rekonfigurasi Jaringan Distribusi Radial Menggunakan Modified Firefly Algorithms (MFA) Pada P₂₃ulang Tanjung Rayon Jombang," *J. JEEEU*, vol. 1, no. 2, pp. 13–16, 2017.
 - [4] Muhlasin and M. Ali, "Analisa Perencanaan Trafo Sisipan T. 416 Pada Trafo HL. 017 Di Jaringan Tegangan Rendah Desa 10angan Kecamatan Bagor Kabupaten Jombang," *J. Intake*, vol. 3, no. 1, pp. 48–60, 2012.
 - [5] M. Ali, I. Umami, and H. Sopian, "Particle Swarm Optimization (PSO) Sebagai Tuning PID Kontroler Untuk Kecepatan Motor DC," *J. Intake*, vol. 7, no. 1, pp. 10–20, 2016.
7
 - [6] Y. del Valle, G. K. Venayagamoorthy, S. Mohagheghi, J.-C. Hernandez, and R. G. Harley, "Particle Swarm Optimization: Basic Concepts, Variants and Applications in Power Systems," *IEEE Trans. Evol. Comput.*, vol. 12, no. 2, pp. 171–195, 2008.
13
 - [7] L.-Y. Chuang, J.-H. Tsai, and C.-H. Yang, "Binary particle swarm optimization for operon prediction," *Nucleic Acids Res.*, vol. 38, no. 12, pp. e128–e128, 2010.
-

Rekonfigurasi Jaringan Radial Distribusi Tenaga Listrik Penyulang Suryagraha Menggunakan Binary Particle Swarm Optimization (BPSO)

ORIGINALITY REPORT



PRIMARY SOURCES

- | | | |
|---|--|----|
| 1 | digitalcommons.wpi.edu | 2% |
| 2 | Submitted to SDM Universitas Gadjah Mada | 1% |
| 3 | ojs.uniska-bjm.ac.id | 1% |
| 4 | bdm.unb.br | 1% |
| 5 | stt-pln.e-journal.id | 1% |
| 6 | Hayatul Harifin, Novalio Daratha, M. Khairul Amri Rosa. "Pengembangan Perangkat Lunak Untuk Analisis Aliran Beban Tiga Fasa Pada Jaringan Tegangan Rendah Dengan Metode Newton Berbasis Calculus Wirtinger", JURNAL AMPLIFIER : JURNAL ILMIAH BIDANG TEKNIK ELEKTRO DAN KOMPUTER, 2020 | 1% |
- Publication
-

7	scholar.sun.ac.za Internet Source	1 %
8	Submitted to Aston University Student Paper	1 %
9	journal.unj.ac.id Internet Source	1 %
10	journal2.um.ac.id Internet Source	1 %
11	repository.undar.ac.id Internet Source	1 %
12	Submitted to Universiti Malaysia Pahang Student Paper	1 %
13	Sungbum Jun, Tai-Woo Chang, Hanil Jeong, Seokcheon Lee. "Camera Placement in Smart Cities for Maximizing Weighted Coverage with Budget Limit", IEEE Sensors Journal, 2017 Publication	1 %
14	1library.net Internet Source	1 %
15	B. Tutuko, S. Nurmaini, P. Sahayu. "Optimal Route Driving for Leader-Follower Using Dynamic Particle Swarm Optimization", 2018 International Conference on Electrical Engineering and Computer Science (ICECOS), 2018 Publication	1 %

16	ejournal3.undip.ac.id Internet Source	1 %
17	journal.fortei7.org Internet Source	1 %
18	jurnalsaintek.uinsby.ac.id Internet Source	<1 %
19	Submitted to Universitas Esa Unggul Student Paper	<1 %
20	Wahyudin Hasyim, Alter Lasarudin. "OPTIMALISASI NEURAL NETWORK BERBASIS PARTICLE SWARM OPTIMIZATION UNTUK MEMPREDIKSI LAMA PENYINARAN MATAHARI DALAM MEMENUHI KEBUTUHAN ENERGI", Jurnal Teknologi Informasi Indonesia (JTII), 2019 Publication	<1 %
21	ejournal.uin-suska.ac.id Internet Source	<1 %
22	ejournal.fortei7.org Internet Source	<1 %
23	te.ft-undar.ac.id Internet Source	<1 %
24	Submitted to Universitas Riau Student Paper	<1 %
25	ejournal.kahuripan.ac.id	

Internet Source

<1 %

26 Submitted to Universitas Tidar <1 %
Student Paper

27 digilib.uinsby.ac.id <1 %
Internet Source

28 lib.unnes.ac.id <1 %
Internet Source

29 pt.scribd.com <1 %
Internet Source

30 hpc-ua.org <1 %
Internet Source

31 id.scribd.com <1 %
Internet Source

32 jurnalmahasiswa.unesa.ac.id <1 %
Internet Source

33 repository.poliupg.ac.id <1 %
Internet Source

34 e-jurnal.unisda.ac.id <1 %
Internet Source

35 journaluir.ac.id <1 %
Internet Source

Exclude quotes

On

Exclude matches

< 2 words

Exclude bibliography

On

Rekonfigurasi Jaringan Radial Distribusi Tenaga Listrik Penyulang Suryagraha Menggunakan Binary Particle Swarm Optimization (BPSO)

GRADEMARK REPORT

FINAL GRADE

/0

GENERAL COMMENTS

Instructor

PAGE 1

PAGE 2

PAGE 3

PAGE 4

PAGE 5
